

# Метод параллельных цепей для распознавания дактилоскопических изображений

Гудков Владимир Юльевич

Челябинский Государственный Университет, Челябинск, Россия

[Diana@Sonda.ru](mailto:Diana@Sonda.ru)

## Аннотация

В работе предлагается метод измерения направлений светотеней линий дактилоскопических изображений, устойчивый к изменению ширины линий и просветов, разрывам линий и другим дефектам изображения. Результатом применения метода является поле направлений, снабженное достоверностью и отражающее ориентацию двух параллельных теневых или световых линий.

**Ключевые слова:** Отпечаток пальца, поле направлений, светотени, параллельные цепи.

## 1. ВВЕДЕНИЕ

В компьютеризированных системах (КС) идентификацию изображений, как правило, выполняют после обработки изображений [1-3, 5]. При этом ошибки обработки напрямую влияют на величины ошибок идентификации [6]. Вследствие этого ошибки обработки изображения необходимо минимизировать.

При распознавании дактилоскопических изображений (ДИ) выделяют признаки, формирующие структуру самого ДИ. К таким основным признакам, согласно [7], относят: поле направлений линий, поле плотности линий и поле качества линий в виде матриц, размерность которых определяется сегментацией ДИ. В ячейку каждой такой матрицы записывают локально вычисленное значение признака (яркость, контрастность, градиент) [5]. Это случайная функция двух аргументов (координат), значение которой неизвестно до исхода эксперимента. Очевидно, что случайные поля [4], генерируемые обработкой, определяются распределением яркостей точек ДИ.

На рис. 1 представлено ДИ с дефектами, увеличивающими ошибки идентификации [6]. Это вынуждает разработчиков КС применять новые методы распознавания [2].



Рис. 1: Изображение отпечатка пальца

## 2. ПОСТАНОВКА ЗАДАЧИ

Изображение как множество действительных чисел формируют в виде  $F = \{f(x, y) | (x, y) \in X \times Y\}$  в прямоугольной области  $G$  мощностью  $|G| = x_0 y_0$ , где  $X = 0..x_0 - 1$  и  $Y = 0..y_0 - 1$ . Структурно обработку изображения представляют в виде пирамиды  $\mathcal{R}$  слоев (препаратов изображения) из взаимосвязанных иерархий [5]. Сегментация  $l$ -го слоя  $k$ -й иерархии  $F_k^{(l)}$  разбивает слой на  $x_h y_h$  непересекающихся квадратных сегментов  $S_{hk}^{(l)}(x, y)$  с длиной стороны  $2^{h-k}$  и вершинами  $(x, y) \in X_h \times Y_h$ , где  $k < h$  и  $h$  – номер иерархии;  $X_h = 0..x_h - 1$  и  $Y_h = 0..y_h - 1$ . Доступ к каждой точке сегмента  $S_{hk}(x, y)$  записывают в координатах  $(u, v) \in \bar{X}_{hk} \times \bar{Y}_{hk}$ :

$$\begin{cases} \bar{X}_{hk} = \{u + x2^{h-k} | x \in X_h \wedge u \in 0..2^{h-k} - 1\}, \\ \bar{Y}_{hk} = \{v + y2^{h-k} | y \in Y_h \wedge v \in 0..2^{h-k} - 1\}, \end{cases} \quad (1)$$

а центры сегментов  $(u, v) \in \hat{X}_h \times \hat{Y}_h$  находят в виде

$$\begin{cases} \hat{X}_h = \{2^{h-1} + x2^h | x \in X_h\}, \\ \hat{Y}_h = \{2^{h-1} + y2^h | y \in Y_h\}. \end{cases} \quad (2)$$

Для формализации методов классификационного анализа (КА) применяют аппарат апертур. Прямолинейные щелевые  $A_h(x, y, \alpha, w)$  и точечная  $A_h^o(x, y, \alpha, w)$  апертуры как множества точек и углов в виде элементов упорядоченных троек  $(u, v, \beta)$  определяют по формулам:

$$\begin{cases} A_h(x, y, \alpha, w) = \{(u, v, \beta) = (x + w_x, y + w_y, \beta) | w \in Z_w\}, \\ A_h^o(x, y, \alpha, w) = \{(u, v, \beta) = (x + w_x, y + w_y, \beta) | w \in Z_w^o\}, \end{cases} \quad (3)$$

где  $w_x = w \cos(\alpha)$  и  $w_y = w \sin(\alpha)$ ;  $(x, y) \in X_h \times Y_h$  – центр апертуры;  $(u, v) \in X_h \times Y_h$  – точка апертуры;  $w$  – размер апертуры; множества  $Z_w = 1..w$  и  $Z_w^o = w$ ;  $\alpha$  – угол направления апертуры. Угол, определяющий направление из центра  $(x, y)$  в точку  $(u, v)$  апертуры, находят в виде

$$\beta = \arctg\left(\frac{v-y}{u-x}\right) + \pi n \text{ при } n \in 0..1.$$

Алгоритмы движения по точкам ДИ задает отношение

$$R = \{(x_d, y_d) | d \in 0..7\}, \quad (4)$$

полного строго порядка по направлению движения  $d$  в 8-связанной области, где  $(1, 0)$  есть элемент для  $d = 0$ .

Отношение  $R$  определяет функцию перехода  $T_h^d(x,y)$  в  $h$ -й иерархии в направлении  $d$ . Функция описывает смещение как отдельной точки с координатами  $(x,y) \in X_h \times Y_h$ , так и синхронное смещение множества точек в виде

$$T_h^d(\{(x,y)\}) = \{(a,b) = (x + x_d, y + y_d) | (a,b) \in X_h \times Y_h\}. \quad (5)$$

Задача заключается в построении помехоустойчивого метода измерения полей направлений ДИ с опорой на формальный аппарат (1-5).

Измерение полей направлений является частью общей задачи обработки ДИ, представляемой в виде последовательности процедур и функций, сгруппированных поэтапно, очередность выполнения которых определяется при разработке КС и реже – обучении. Это увязывает слои пирамиды  $\mathfrak{R}$  между собой запрограммированной последовательностью отображения данных.

### 3. МЕТОД ПАРАЛЛЕЛЬНЫХ ЦЕПЕЙ

На основе формализма (1-5) рассматривается коррекция изображения, его сглаживание, построение светотеней и измерение полей направлений.

#### 3.1 Коррекция изображения

Обычной процедурой КА является коррекция исходного изображения  $F_0^{(0)} = \{f_0^{(0)}(x,y)\} = \{f(x,y)\} = F$  для обеспечения полного динамического диапазона яркостей:

$$F_0^{(1)} = \{f_0^{(1)}(x,y)\} = \left\{ \frac{(f_0^{(0)}(x,y) - f_{\min})(2^b - 1)}{f_{\max} - f_{\min}} \right\}, \quad (6)$$

где  $f_{\max}$  и  $f_{\min}$  – наибольшее и наименьшее значение яркости изображения;  $b$  – глубина изображения [1]. Расчет  $f_{\min}$  и  $f_{\max}$  можно улучшить, опираясь на гистограмму яркостей или модулей градиента [3]. В последнем случае параметры функции (6) оценивают на этапе обучения программного объекта.

#### 3.2 Сглаживание изображения

Данная процедура выполняется по формуле двумерной дискретной свертки

$$F_0^{(2)} = \{f_0^{(2)}(x,y)\} = \{H ** f_0^{(1)}(x,y)\} \quad (7)$$

с ядром вида

$$H = [h(i,j)] = \begin{bmatrix} 1 & 2 & 1 \\ 2 & 4 & 2 \\ 1 & 2 & 1 \end{bmatrix}.$$

Такая фильтрация применяется для расфокусировки изображения, преимущественно краев линий [1, 3]. Это улучшает результаты КА, особенно для изображений, снятых с ксерокопий и содержащих обедненный состав серого цвета. Утверждать, что сглаживание исходного изображения может увеличить ошибки распознавания изображения при его обработке не следует, так как слои  $F_0^{(0)}$ ,  $F_0^{(1)}$ ,  $F_0^{(2)}$  одновременно хранятся в памяти машины, а функции КА имеют доступ к любому слою пирамиды.

### 3.3 Построение светотеней

Сглаженный слой по формуле (7) служит основой для формирования слоев светотеней  $F_0^{(d+3)} = \{f_0^{(d+3)}(x,y)\}$  по формуле двумерной дискретной свертки

$$F_0^{(d+3)} = H^d ** F_0^{(2)}, \quad (8)$$

где  $d \in D = 0..3$  – четыре направления засветки изображения через  $45^\circ$ ;  $H^d$  – маски Собела [5] в виде

$$H^0 = \begin{bmatrix} -1 & 0 & 1 \\ -2 & 0 & 2 \\ -1 & 0 & 1 \end{bmatrix}, \quad H^1 = \begin{bmatrix} 0 & 1 & 2 \\ -1 & 0 & 1 \\ -2 & -1 & 0 \end{bmatrix}, \dots, \quad H^3 = \begin{bmatrix} 2 & 1 & 0 \\ 1 & 0 & -1 \\ 0 & -1 & -2 \end{bmatrix}.$$

Четыре слоя светотеней, вычисленные для ДИ, показаны на рис. 2. Нулевая реакция окрашена серым цветом, положительные значения светлее, а отрицательные – темнее.

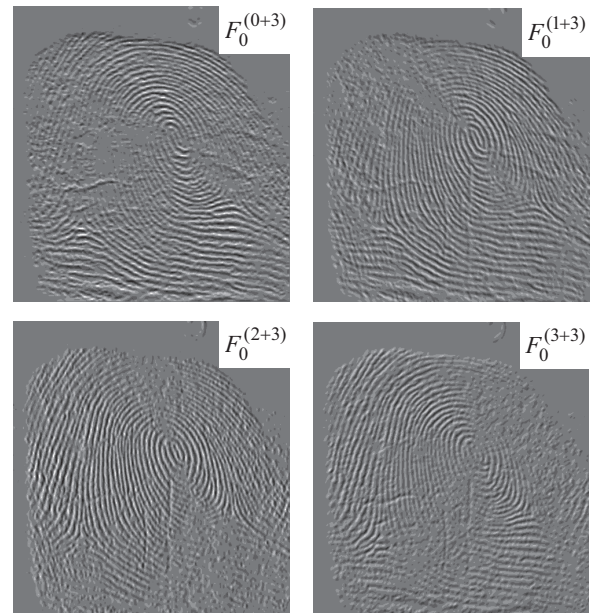


Рис. 2: Четыре слоя светотеней

### 3.4 Измерение полей направлений

Направление линии, по сути, близко к ориентации простой окрестности [5]. Поскольку светотени преимущественно формируются границами линий, применим метод локального адаптивного параллельного сканирования указанных слоев вдоль путей «тени» и «света» в качестве базовой оценки матриц направлений. Выполняемая процедура для направления  $d \in D = 0..3$  реализует отображение

$$\Gamma : \{S_h^{(d+3)}\} \rightarrow \{\{\Delta_h\}, \{\Lambda_h\}\},$$

где  $S_h^{(d+3)} = \{S_h^{(d+3)}(u,v) | (u,v) \in \hat{X}_h \times \hat{Y}_h\}$  – множество сегментов с центрами по (2) слоев  $F_0^{(d+3)}$ ;  $\Delta_h = [\delta_h(x,y)]$  – слой  $F_h$  как матрица направлений на сегментах изображения  $S_h$  с углами  $0 \leq \delta_h(x,y) < \pi$ ;  $\Lambda_h = [\lambda_h(x,y)]$  – слой как

матрица достоверностей  $\Lambda_h$  для матрицы направлений  $\Delta_h$ ;  $h$  – номер иерархии, на которой отображаются случайные поля, и  $h \in H = 2..n$ . Измерения выполняются в двух каналах, означенных символом  $k \in \{0,1\}$ : 0 – канал «тени» и 1 – канал «света».

**3.4.1 Первый этап.** Первый этап фиксирует для каждого базового сегмента и заданного направления  $d$  четыре позиции:

$$\begin{cases} P_q^{lk} = (x_q^{lk}, y_q^{lk}) \in P^{lk}, \\ P_q^{rk} = (x_q^{rk}, y_q^{rk}) \in P^{rk}, \end{cases} \quad (9)$$

где  $q$  – длина цепи;  $k \in \{0,1\}$  – метка канала «тени» и «света»;  $l$  и  $r$  – метки левой и правой позиции;  $(x,y)$  – координаты;  $P$  – цепь. Цепи формируются в слоях  $F_0^{(d+3)}$

как выделенные последовательности точек  $\{p_i = (x_i, y_i)\}$  в направлении  $s \in G = \{d+1, d+2, d+3\}$ , которое в среднем перпендикулярно направлению засветки. Суммирование выполняют по модулю 8. Эти отсчеты соответствуют четырем простым цепям на точках изображения, как на вершинах графа. Две простые цепи для «тени» и две простые цепи для «света»  $P^{lk}$  и  $P^{rk}$  в процессе движения развиваются независимо:

$$\begin{cases} P^{lk} = \{p_i^{lk} = (x_i^{lk}, y_i^{lk}) | i \in 0..q \wedge p_0^{lk} = p^l\}, \\ P^{rk} = \{p_i^{rk} = (x_i^{rk}, y_i^{rk}) | i \in 0..q \wedge p_0^{rk} = p^r\}, \end{cases} \quad (10)$$

где  $k \in \{0,1\}$  – метка канала;  $q$  – длина цепи;  $p^l = (x^l, y^l)$  и  $p^r = (x^r, y^r)$  – две стартовые точки для левых и правых простых цепей. Обычно стартовые точки  $p^l$  и  $p^r$  располагаются в соседних сегментах. Они для сегментов  $S_h^{(d+3)}$  с центрами  $\{(u,v) \in \hat{X}_h \times \hat{Y}_h\}$  по (2) при  $h=2$  определяются методом переноса точки  $(u,v)$  в направлении  $s$  и зеркальном ему  $\bar{d} = d+4$  (суммирование по модулю 8) в апертуре по (3):

$$\begin{cases} \{(x^l, y^l)\} = \{A_0^o(u, v, 45d, t) | (u, v) \in \hat{X}_h \times \hat{Y}_h\}, \\ \{(x^r, y^r)\} = \{A_0^o(u, v, 45\bar{d}, t) | (u, v) \in \hat{X}_h \times \hat{Y}_h\}, \end{cases}$$

где  $t$  – расстояние, на которое переносится точка из центра сегмента (в реализации  $t \in 4..7$ ). Точка остается в центре сегмента, если при переносе ее координаты выходят за границы изображения.

Независимое развитие четырех простых цепей и определяется формулой

$$f_0^{(d+3)}(x_i, y_i) = f_0^{(d+3)}(T_0^s(x_{i-1}, y_{i-1})), \quad (11)$$

где  $i > 0$ ;  $d \in D = 0..3$  – направление засветки;  $T_0^s(\cdot)$  – функция перехода по (5);  $s$  – направление для функции перехода как аргумент выражения

$$s = \begin{cases} \arg \max_G (f_0^{(d+3)}(x_i, y_i)) & \text{при } k = 0, \\ \arg \min_G (f_0^{(d+3)}(x_i, y_i)) & \text{при } k = 1. \end{cases}$$

Итак, на каждом шаге развития цепи путь исследуется. Графы функций переходов показаны на рис. 3.

Этап фиксирует в каждом сегменте для текущего направления четыре позиции, точность определения которых существенна. Поэтому величина выбирается оптимальной по критерию: рост приводит к увеличению времени обработки, уменьшение снижает точность определения направлений даже на плавных линиях из-за наличия на ДИ пор, складок, залипаний, рыхлого фона старой бумаги и т.д. Для диагональных направлений выбирают целую часть величины  $q' = q \cdot 0,707$ .

Дополнительная оптимизация выполняется шевелением точек  $p^l$  и  $p^r$  в виде четырех шагов: шаг в направлении  $s$ , два шага в направлении  $\bar{d}$  и еще шаг в направлении  $s$  по (11). При этом точки  $p^l$  и  $p^r$  расщепляются и образуются не две, а четыре стартовые точки для развития четырех независимых простых цепей аналогично (10).

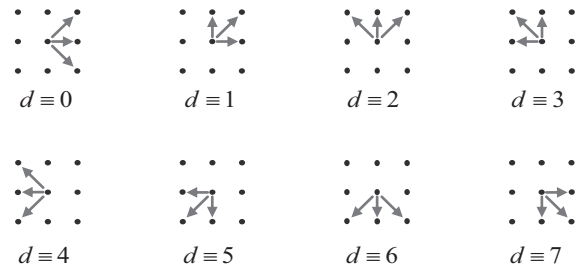


Рис. 3: Графы функций переходов  $T^d$  для  $d \in 0..7$

**3.4.2 Второй этап.** На сегментах  $S_h$  измеряются параметры направлений. Из цепей по (10) зададим два множества  $P^k = \{p^{lk}, p^{rk}\} = \{p_q^{lk}, p_q^{rk}\}$ . Каждое множество содержит две точки для «тени» либо две точки для «света». Расчет сводится к выделению в слоях  $F_0^{(d+3)}$  по (8) отсчетов, отвечающих последовательностям точек  $\{p_i\}$  в направлении  $s \in \bar{G} = \{d+5, d+6, d+7\}$ .

Множество  $\bar{G}$  по направлениям зеркально множеству  $G$ , а суммирование выполняют по модулю 8. Выбор направлений из  $\bar{G}$  позволяет проследивать светотени в направлении, обратном предшествующему этапу. Выделенные точки формируют две простые параллельные цепи для «тени» и две простые параллельные цепи для «света», причем параллельные цепи формируются одинаковой функцией перехода на каждом шаге:

$$\begin{cases} \bar{P}^{lk} = \{p_i^{lk} = (x_i^{lk}, y_i^{lk}) | i \in q..3q\}, \\ \bar{P}^{rk} = \{p_i^{rk} = (x_i^{rk}, y_i^{rk}) | i \in q..3q\}, \end{cases} \quad (12)$$

где  $k \in \{0, 1\}$ ;  $3q - q$  – длина цепи;  $l$  и  $r$  – метки левой и правой цепи. Синтез на решетке двух копий простых параллельных цепей определяется условием

$$f_0^{(d+3)}(x_i, y_i) = f_0^{(d+3)}(T_0^s(x_{i-1}, y_{i-1})), \quad (13)$$

где  $T_0^s(\cdot)$  – функция перехода по (5); начала цепей  $(x_q, y_q) \in P^k$ ;  $s$  – направление движения для функции перехода как аргумент выражения

$$s = \arg \psi_G^k(f_0^{(d+3)}(x_i^l, y_i^l), f_0^{(d+3)}(x_i^r, y_i^r))$$

с функцией

$$\psi_G^k(a, b) = \begin{cases} \min_{s \in G} \max(a, b) & \text{при } k = 0, \\ \max_{s \in G} \min(a, b) & \text{при } k = 1 \end{cases}$$

исследования пути на каждом шаге развития цепей.

Для определения направлений «тени» и «света» на сегменте  $S_h^{(d+3)}(u, v)$  при рассматриваемых засветках изображения используются пары точек  $(p_q^{lk}, p_{3q}^{lk})$  или  $(p_q^{rk}, p_{3q}^{rk})$  нулевой иерархии. Связанные с ними направления  $\delta_h^{(dk)}(x, y) \in F_2$  для заданного направления  $d$  определяются по формуле для левой (или правой) цепи:

$$\delta_h^{(dk)}(x, y) = \left( \arctg \left( \frac{y_q^{lk} - y_{3q}^{lk}}{x_q^{lk} - x_{3q}^{lk}} \right) + \pi n \right) \bmod \pi \text{ при } n \in 0..1. \quad (14)$$

Действительно, выбор точек для расчета направлений цепей  $\bar{P}^{lk}$  или  $\bar{P}^{rk}$  не имеет значения, так как цепи канала  $k$  параллельны. Показателем достоверности такого решения могут служить величины  $\lambda_h^{(dk)}(x, y) \in F_h$ , собираемые в слоях данных:

$$\lambda_h^{(dk)}(x, y) = \frac{1}{q} \left| \sum_{i=q}^{3q} \psi^k(f_0^{(d+3)}(x_i^{lk}, y_i^{lk}), f_0^{(d+3)}(x_i^{rk}, y_i^{rk})) \right|, \quad (15)$$

где точки  $f_0^{(d+3)}(x_i, y_i)$  выбираются по (13); в  $-$ м канале функция выбора точек из параллельных цепей находится в виде

$$\psi^k(a, b) = \begin{cases} \max(a, b) & \text{при } k = 0, \\ \min(a, b) & \text{при } k = 1; \end{cases}$$

и  $-$  метки левой и правой цепей. Достоверность  $\lambda_h$  можно рассматривать как аналог вероятности, отображенной на шкалу  $0 - 2^b$  при глубине  $b$  изображения.

Итак, из двух параллельных цепей выбирается одна, а ее начальная и конечная вершины определяют направление как угол. Достоверность направления оценивается величинами, которые накапливаются в процессе развития цепей. Эти величины выбираются из двух параллельных цепей как значения, наименее отклоняющиеся от нуля. Выбор выполняется на каждом шаге развития цепей и напоминает корреляцию цепей, синтезируемых при движении по критерию (13).

Две независимые цепи по (10), две параллельные цепи (выделены) по (12) и перенос центра сегмента (пунктир) представлены на рис. 4.

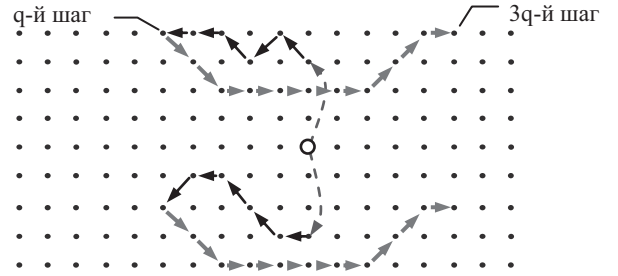


Рис. 4: Граф цепей для  $d = 2$ ,  $G = \{3, 4, 5\}$  в слое «тени»

Важность процедуры сглаживания изображения (7) очевидна. Она обеспечивает плавность перепадов яркостей точек. Без этого точность измерений ухудшается.

**3.4.3 Третий этап.** На третьем этапе оптимизируются элементы матриц на базовых сегментах  $S_h$  для заданного  $d \in D = 0..3$  повторением этапов 1–2. Заметим, что движение на втором этапе производится в секторе, зеркальном сектору первого этапа. И хотя длина цепи первого этапа вдвое короче длины цепи второго этапа, цепи, казалось бы, должны центрироваться на сегменте. На самом деле это не происходит, цепи отклоняются, измерения в направлении не совпадают с измерениями в противоположном направлении  $\bar{d} = d + 4$ . Но направления  $d$  и  $\bar{d}$  равноправны и можно выбрать для «тени» и «света» наилучшее по достоверности измерение.

Оптимизация сводится к вычислению в слоях  $F_h$  восьми матриц направлений

$$\Delta_h^{(dk)} = \left[ \delta_h^{(dk)}(x, y) \right] \quad (16)$$

и соответствующих им восьми матриц достоверностей

$$\Lambda_h^{(dk)} = \left[ \lambda_h^{(dk)}(x, y) \right] \quad (17)$$

при  $k \in \{0, 1\}$ . При этом в вершину каждого сегмента  $S_h^{(d+3)}$  слоя  $F_h^{(d+3)}$  записываются собственно направления

$$\delta_h^{(dk)}(x, y) = \delta_h^{(\mathcal{G}(x, y, k))}(x, y)$$

и соответствующие им достоверности

$$\lambda_h^{(dk)}(x, y) = \lambda_h^{(\mathcal{G}(x, y, k))}(x, y),$$

где направление

$$\mathcal{G}(x, y, k) = \arg \max_{\{d, \bar{d}\}} (\lambda_h^{(dk)}(x, y), \lambda_h^{(\bar{d}k)}(x, y)); \quad (18)$$

$\mathcal{G}(x, y, k) \in \{d, \bar{d}\}$ .

Направление  $\mathcal{G}(x, y, k)$  максимизирует достоверность. Пусть графы цепей такие, как на рис. 4. Изменим направление на противоположное ему. Несмотря на совпадение отсчетов

$\{p^l, p^r\}$ , вычисляемых по (10), графы независимых цепей, вероятно, изменятся, вследствие чего и граф параллельных цепей тоже изменится. Тогда матрицы направлений и их достоверностей оптимизируются. Экспериментально обнаружено, что выбор по (18) улучшает результаты КА.

**3.4.4 Четвертый этап.** Это процедура перколяции [2, 5] матриц (16), (17) для направления  $d$  с иерархии измерений  $h = \min(H)$  на более высокие иерархии пирамиды Я. Процедура сводится к рекурсивному вычислению по иерархиям в векторных пространствах восьми матриц направлений

$$\Delta_h^{(dk)} = [\delta_h^{(dk)}(x, y)] = \left[ \frac{1}{2} \left( \arctg \left( \frac{im_{h-1}^{(dk)}}{re_{h-1}^{(dk)}} \right) + \pi n \right) \right] \quad (19)$$

при  $n \in 0..1$  и восьми матриц достоверностей

$$\Lambda_h^{(dk)} = [\lambda_h^{(dk)}(x, y)] = \left[ \kappa \sqrt{(re_{h-1}^{(dk)})^2 + (im_{h-1}^{(dk)})^2} \right], \quad (20)$$

где  $k \in 0..1$  – номер канала; иерархия  $h \in H = 2..n$ ; направление  $d \in D = 0..3$ . Действительная и мнимая части векторов для сегмента  $S_{h-1}(x, y)$  определяются по модели сложения векторов с величинами модуля  $\lambda_{h-1}^{(dk)}(x, y)$  и аргумента  $\delta_{h-1}^{(dk)}(x, y)$  в виде

$$re_{h-1}^{(dk)} = \sum_{(u,v) \in G} \lambda_{h-1}^{(dk)}(u, v) \cos(2\delta_{h-1}^{(dk)}(u, v)),$$

$$im_{h-1}^{(dk)} = \sum_{(u,v) \in G} \lambda_{h-1}^{(dk)}(u, v) \sin(2\delta_{h-1}^{(dk)}(u, v)),$$

где  $G = \bar{X}_{h-1} \times \bar{Y}_{h-1}$  – множество точек сегмента по (1); аргумент  $\delta_{h-1}^{(dk)}(u, v)$  удваивается для расширения полуплоскости  $[0, \pi)$  до плоскости  $[0, 2\pi)$  [5, 7];  $\kappa$  – коэффициент нормировки векторов из  $G$  вида

$$\kappa = \frac{\max_{(u,v) \in G} \lambda_{h-1}^{(dk)}(u, v)}{\sum_{(u,v) \in G} \lambda_{h-1}^{(dk)}(u, v)}.$$

Результат сложения векторов запоминается в вершине сегмента. Данные жестко привязаны к координатам ДИ на разных уровнях пирамиды. Коэффициент нормировки масштабирует достоверность  $\lambda(x, y)$ , которая при  $h > 2$  как мера когерентности направлений достигает максимально возможной величины для идеальной локальной ориентации, а для изотропной структуры она равна нулю [5].

**3.4.5 Пятый этап.** Выполняется отбор направлений на сегментах  $S_h^{(d+3)}$ . Формально алгоритм реализуется последовательным выбором в каналах направлений из  $D = 0..3$  для иерархии  $H = 2..n$  итерационно  $h = \min(H) \Rightarrow H = H \setminus \{h\}$  по формулам

$$\Delta_h = [\delta_h(x, y)] = [\delta_h^{\mathcal{G}(x,y)k}(x, y)], \quad (21)$$

$$\Lambda_h = [\lambda_h(x, y)] = [\lambda_h^{\mathcal{G}(x,y)k}(x, y)], \quad (22)$$

где  $k \in 0..1$  и  $\mathcal{G}(x, y, k) \in D$  – направление-победитель на отдельном сегменте иерархии  $h$  – определяются в виде пары

$$(\mathcal{G}(x, y)k) = \arg \max_{k \in 0..1} \max_{d \in D} \lambda_h^{(dk)}(x, y).$$

Направления покрывают все многообразие ориентаций папиллярных линий  $0 \leq \delta < \pi$  при равноправном выборе направлений и  $\bar{d}$  по (18) для простых окрестностей.

Матрицы  $\{\Delta_h\}, \{\Lambda_h\}$  содержат наиболее правдоподобные направления из каждого канала, но необязательно корректные. Здесь для каждой иерархии  $h \in H$  формируется 18 слов:  $\{\Delta_h^{(dk)}\}, \{\Lambda_h^{(dk)}\}, \{\Lambda_h\}$ , где  $d \in 0..3$ ;

На этом заканчивается измерение полей направлений ДИ.

Матрицы направлений и величин их достоверностей показаны на рис. 5-7.

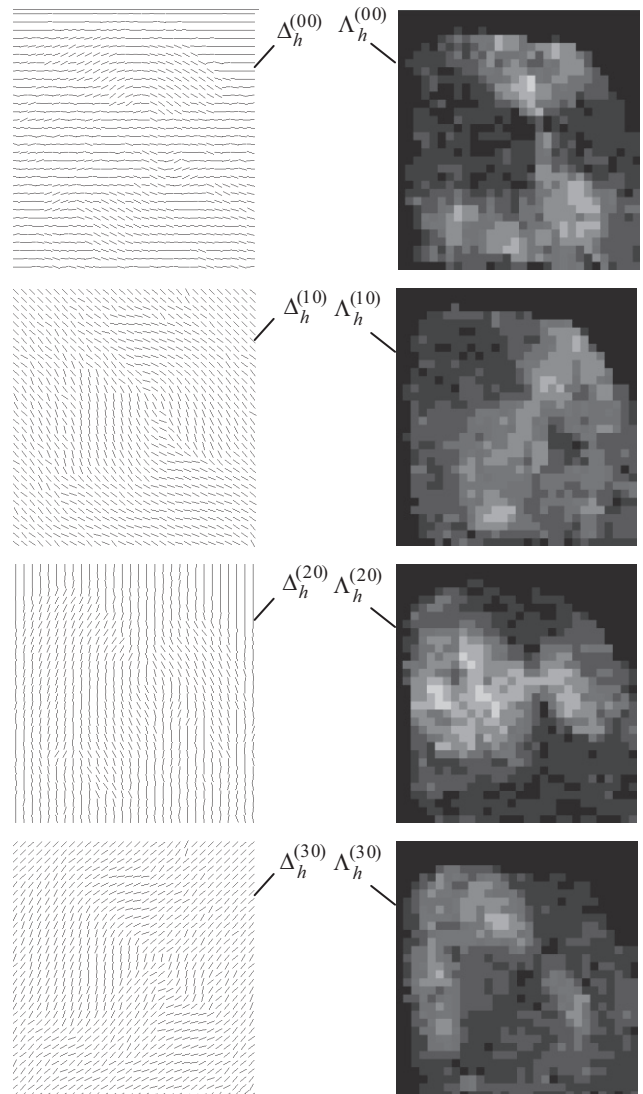


Рис. 5: Направления и достоверности канала «тени»

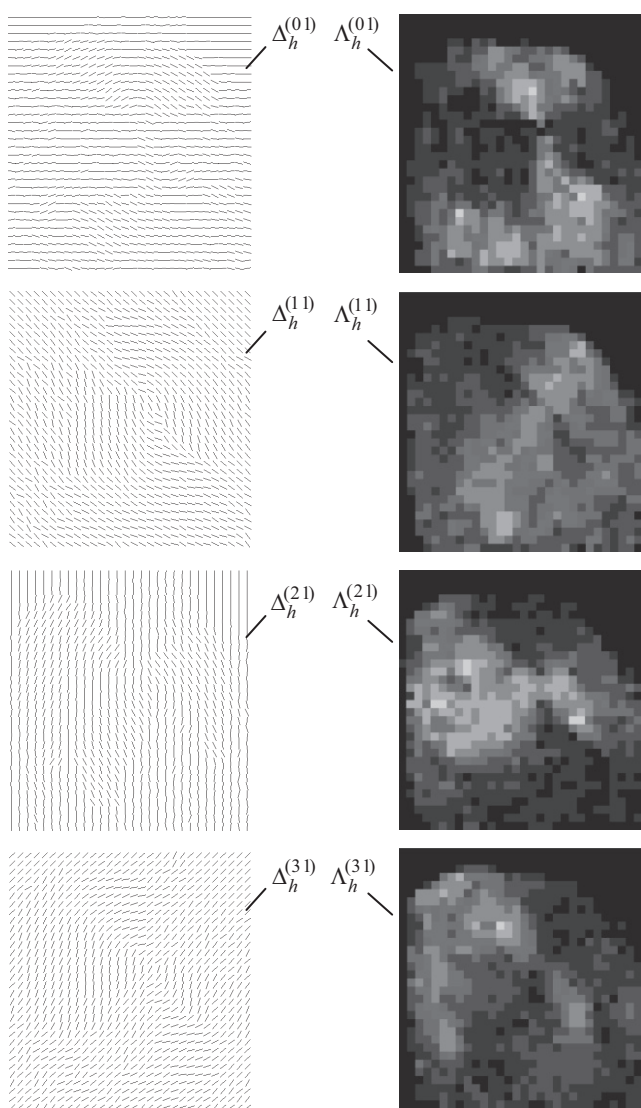


Рис. 6: Направления и достоверности канала «света»

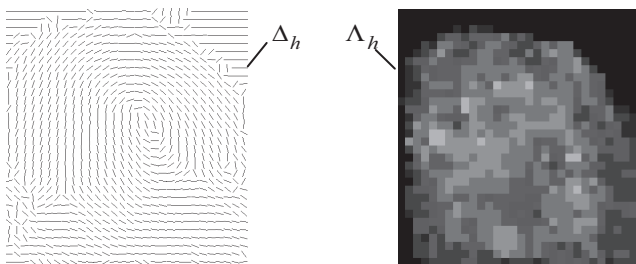


Рис. 7: Отобранные направления и достоверности

На рис 7 можно заметить, что, несмотря на дефекты ДИ, обозначенные на рис. 1, отобранные на основе максимизации достоверности направления (в виде черточек) в этих дефектных областях построены корректно.

Итак, метод измерения полей направлений основан на оценке величин отсчетов при параллельном движении в слоях светотеней, а разделение результатов КА на два канала и

изобилие результатов измерений позволяет улучшить КА изображения и уменьшить ошибки обработки ДИ и, тем самым, уменьшить ошибки идентификации [6].

#### 4. ЗАКЛЮЧЕНИЕ

Предложен метод параллельных цепей для распознавания направлений линий на ДИ. Он базируется на формализме (1)–(5) и выполняется на основе следующих новых решений:

- отслеживание слоев светотеней на основе корреляции точек из параллельных цепей (13), зеркалирования направления движения по (16)-(18) и вероятностной оценки достоверностей направлений по (15);
- многоканальное независимое измерение полей направлений и их достоверностей согласно уравнениям (12);
- переклюцию матриц направлений и их достоверностей на более высокие иерархии пирамиды  $\mathcal{R}$  по (19, 20) в рамках пирамидальной модели;
- отбор наиболее достоверных направлений в каналах и синтез матриц более высокого качества отобранных направлений и их достоверностей по (21, 22).

Предложенный метод существенно отличается от метода простых окрестностей [5] как по точности, так и по качеству измерений.

В дальнейшем планируется развитие метода за счет применения трех параллельных цепей и присоединения к ним метода тензорного анализа простых окрестностей.

#### 5. ССЫЛКИ

1. Гонсалес, Р. Цифровая обработка изображений / Р. Гонсалес, Р. Вудс; пер. с англ.; под ред. П.А. Чочиа. – М.: Техносфера, 2006. – 1072 с.
2. Новейшие методы обработки изображений / А.А. Потапов, А.А. Пахомов, С.А. Никитин, Ю.В. Гуляев. – М.: Физматлит, 2008. – 496 с.
3. Обработка и анализ изображений в задачах машинного зрения / Ю.В. Визильтер, С.Ю.Желтов, А.В.Бондаренко и др. – М.: Физматкнига, 2010. – 672 с.
4. Справочник по теории вероятностей и математической статистике / В.С. Королюк, Н.И. Портенко, А.В. Скороход, А.Ф. Турбин. – М.: Наука. – Главная редакция физико-математической литературы, 1985. – 640 с.
5. Яне, Б. Цифровая обработка изображений / Б. Яне; пер. с англ. А.М. Измайловой. – М.: Техносфера, 2007. – 584 с.
6. Bolle, R.M. Automatic fingerprint recognition systems / R.M. Bolle, N.K. Ratha. – New York: Springer-Verlag, 2004. – 458 p.
7. Maltoni D. Handbook of fingerprint recognition / D. Maltoni, D. Maio, A.K. Jain, S. Prabhakar. – London: Springer-Verlag, 2009. – 496 p

#### Об авторе

Гудков Владимир Юльевич – доцент Челябинского государственного университета. Его адрес: [Diana@Sonda.ru](mailto:Diana@Sonda.ru).

Область научных интересов:

обработка изображений, распознавание образов, идентификация отпечатков пальцев, комплексы программ.